

Boletín Informativo

RCCH-BOL-2025-10

Red Climatológica del Estado de Chihuahua

octubre de 2025

Índice

| | | |
|----------|--|-----------|
| 1 | Introducción | 2 |
| 2 | Datos y Metodología | 2 |
| 2.1 | División de zonas | 2 |
| 3 | Temperatura | 3 |
| 3.1 | Anomalía de Temperatura | 3 |
| 3.2 | Rango de Temperaturas por Sitio | 4 |
| 4 | Precipitación | 5 |
| 4.1 | Acumulado de Precipitación | 5 |
| 4.2 | Anomalía de Precipitación | 6 |
| 4.3 | Día más lluvioso por sitio | 8 |
| 5 | Otras Variables | 10 |
| 5.1 | Presión | 10 |
| 5.2 | Velocidad de viento | 10 |
| 5.3 | Radiación | 12 |
| 6 | Actualización climatológica mensual: Conclusiones | 13 |
| 7 | Conclusiones | 13 |

Folio: RCCH-BOL-2025-09

1 Introducción

El presente boletín informativo ofrece un análisis detallado del comportamiento de variables climáticas clave durante el mes de octubre de 2025, con base en los registros generados por la Red Climatológica del Estado de Chihuahua (RCCH). Este análisis compara los datos recientes con series históricas del periodo 2021–2025, lo que permite identificar tendencias, anomalías y eventos extremos relevantes para la gestión de riesgos climáticos y la toma de decisiones en los sectores productivo, agrícola y de protección civil.

2 Datos y Metodología

Los datos que sustentan este informe provienen de la red de estaciones distribuidas en puntos estratégicos del estado de Chihuahua. La información fue sometida a un proceso de verificación y depuración para garantizar su confiabilidad. Posteriormente, se realizaron cálculos de valores promedio, rangos, máximos, mínimos y anomalías, comparando los datos de octubre de 2025 con los promedios históricos del mismo mes. Los valores presentados están en horario UTC. Las gráficas presentadas ilustran visualmente estos resultados, facilitando la interpretación de las condiciones climáticas observadas.

Durante octubre de 2025, las estaciones mantuvieron un porcentaje de datos disponibles superior al umbral mínimo del 90 %, establecido para asegurar la calidad, continuidad y representatividad de la información meteorológica registrada en la red.

2.1 División de zonas

Para efectos de este análisis, los sitios de monitoreo se clasificaron en seis clusters, definidos a partir de criterios de ubicación geográfica, características climáticas predominantes y funcionalidad operativa dentro de la Red Climatológica del Estado de Chihuahua. Esta segmentación permite optimizar la representatividad espacial y facilitar la interpretación comparativa de los registros obtenidos.

Zona 0: Comprende estaciones ubicadas en la franja fronteriza norte y región noroccidental, tales como Ahumada, Ascensión, Juárez, Palomas, Práxedis y Ricardo F. Magón. La ubicación estratégica de estos puntos permite caracterizar condiciones climáticas transfronterizas y corredores de intercambio regional. Santa Isabel se incluye como nodo de control adicional hacia la porción centro-sur del estado.

Zona 1: Agrupa estaciones situadas en la región centro-sur y zona de llanuras, incluyendo Aldama, Camargo, Jiménez, Parral, Coronado y Valle de Zaragoza, así como nodos relevantes en el área metropolitana de Chihuahua (CHIH_Pcivil, CHIH_Potb, CHIH_JCAS). Este cluster concentra zonas de alta actividad económica, agroindustrial y administrativa, representando uno de los sectores con mayor densidad de población y cobertura de infraestructura.

Zona 2: Corresponde a la región de la Sierra Tarahumara y áreas de altitud media y alta en el occidente del estado, con sitios como Creel, Cuauhtémoc, Guerrero, Madera, San Juanito y Temósachi. Esta agrupación permite evaluar dinámicas de microclimas de montaña, gradientes térmicos, precipitaciones orográficas y ecosistemas forestales.

Zona 3: Incluye estaciones ubicadas en la porción oriental y noreste del territorio estatal, conformada por Coyame, Manuel Benavides y Ojinaga. Estas estaciones se consideran representativas de zonas de transición hacia cuencas interiores, caracterizadas por climas semiáridos y relevancia estratégica por su localización limítrofe con Coahuila y Texas.

Zona 5: Reúne estaciones localizadas en el área urbana de Ciudad Juárez (Don Bosco, IIT 01, Bomberos 9 Anapra, Clínica Nutrición UACJ y Babícora Distrito Sur). Este cluster urbano tiene como objetivo capturar variabilidad espacial intraurbana, efectos de isla de calor y dinámicas locales relacionadas con procesos urbanos e industriales.

La delimitación de estos clusters responde a la necesidad de estructurar el análisis de forma coherente con la distribución territorial y funcional de la red, garantizando consistencia técnica y operativa en la interpretación de los datos (Figura 2).

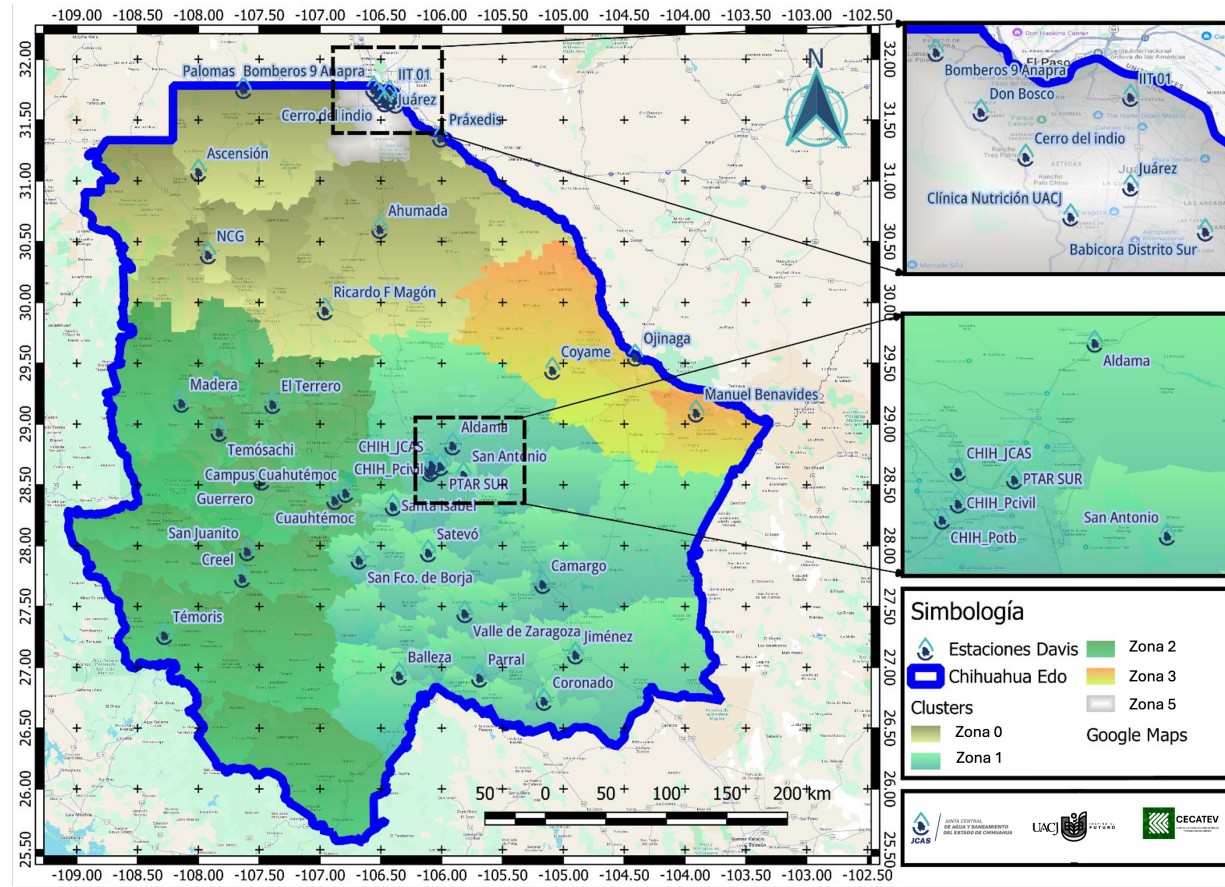


Figura 1: Zonificación Red Climatológica del Estado de Chihuahua

3 Temperatura

3.1 Anomalía de Temperatura

Durante octubre de 2025 se registraron variaciones significativas en la temperatura promedio mensual con respecto al valor histórico del mismo mes. La gráfica muestra que la mayoría de las estaciones presentaron anomalías positivas, lo que indica que las temperaturas fueron más cálidas de lo habitual en gran parte del territorio estatal.

Las anomalías más elevadas, superiores a $+1.5^{\circ}\text{C}$, se observaron en Parral, Valle de Zaragoza, Jiménez, Juárez Conejos Médanos y Camargo, localizadas principalmente en el centro-sur del estado. Este comportamiento sugiere la influencia de condiciones anticiclónicas persistentes, cielos despejados y una menor cobertura nubosa, que favorecieron el calentamiento diurno y la reducción de la amplitud térmica nocturna. En contraste, solo cuatro estaciones registraron anomalías negativas, destacando Clínica Nutrición UACJ (-1.2°C), Don Bosco, IIT 01 y Santa Isabel, ubicadas en el norte urbano de Ciudad Juárez. Estos descensos se asocian con la entrada temprana de frentes fríos, mayor nubosidad y la influencia del efecto urbano-rural, que puede moderar la temperatura media en ciertas zonas metropolitanas.

En conjunto, el patrón observado refleja un comportamiento térmico heterogéneo, con predominio de condiciones más cálidas en el centro-sur y ligero enfriamiento en el extremo norte del estado. Este contraste es característico de la transición estacional entre verano y otoño, y tiene implicaciones en la evapotranspiración, el desarrollo agrícola y el confort térmico de la población.

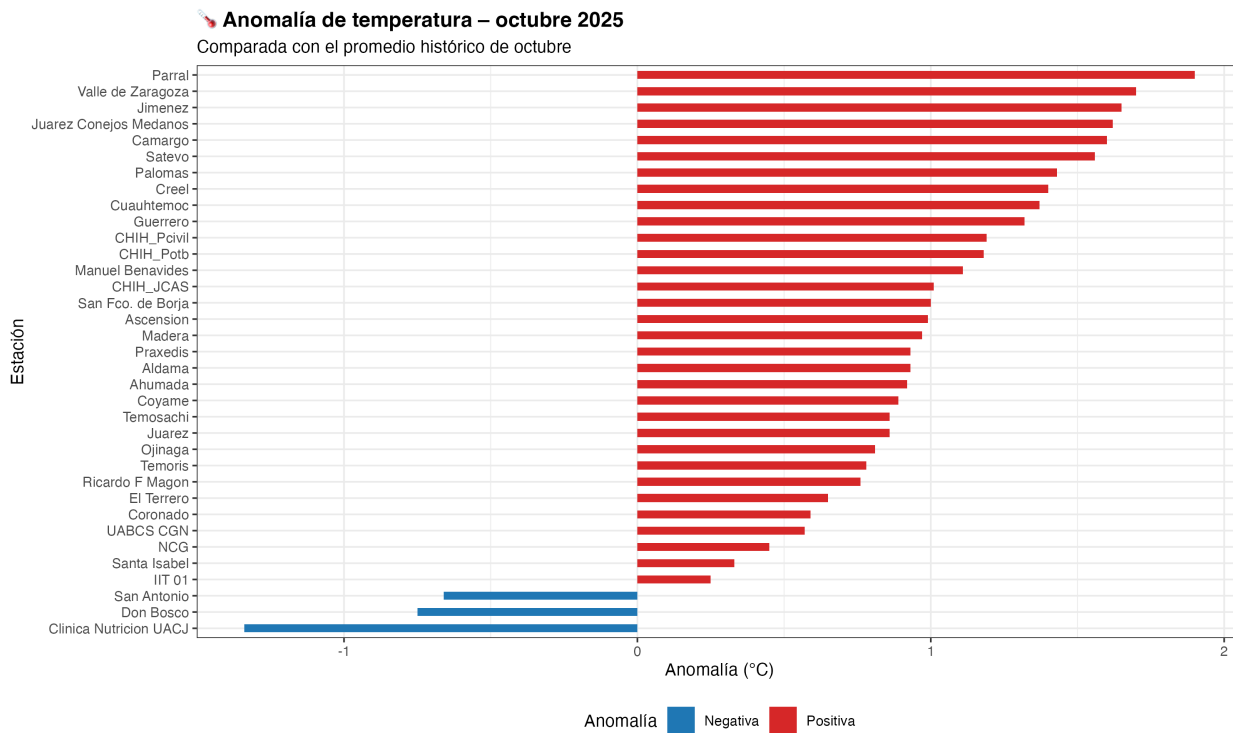


Figura 2: Anomalía en temperatura para octubre (2021–2025)

3.2 Rango de Temperaturas por Sitio

La figura 4 muestra el comportamiento térmico de las distintas zonas climatológicas del estado de Chihuahua durante octubre de 2025, a partir del promedio mensual y del rango de temperaturas mínimas y máximas registradas en cada estación.

En la Zona 0 (norte urbano), que incluye las estaciones de Ciudad Juárez y sus alrededores, las temperaturas promedio oscilaron entre 18 y 22 °C, con amplitudes térmicas diarias amplias, superiores a 15 °C en varios casos. Este comportamiento es típico del clima semiárido templado, influido por cielos despejados, baja humedad y contrastes marcados entre el día y la noche.

La Zona 1 (centro-sur del estado) presentó las temperaturas promedio más elevadas, entre 22 y 26 °C, con máximos que superaron los 35 °C en estaciones como Parral, Valle de Zaragoza y Camargo. Estas condiciones reflejan un ambiente cálido y estable, asociado con alta radiación solar y escasa nubosidad, coincidiendo con las anomalías positivas observadas en esta región.

En la Zona 2 (Sierra Tarahumara y región occidental) se registraron las temperaturas más bajas, con promedios entre 15 y 19 °C y rangos que van desde valores mínimos cercanos a 5 °C hasta máximos de 30 °C. Esta variabilidad refleja el efecto de la altitud y el relieve montañoso, que favorecen noches frías y días templados. Estaciones como Creel, Madera y Temósachic destacan por su marcada oscilación térmica.

Finalmente, la Zona 3 (región oriental y fronteriza con Coahuila) mostró las temperaturas más altas del estado, con promedios superiores a 27 °C y picos de hasta 38 °C en Ojinaga. Este comportamiento corresponde

al clima árido cálido del oriente de Chihuahua, donde la baja altitud y la escasa nubosidad favorecen un fuerte calentamiento diurno.

En conjunto, el análisis confirma un gradiente térmico decreciente de oriente a occidente y de sur a norte, con zonas más cálidas en el este y centro-sur, y temperaturas más bajas en la Sierra Tarahumara. Este patrón es consistente con la transición estacional hacia el otoño y refleja la influencia de la topografía y la radiación solar sobre la variabilidad térmica regional.

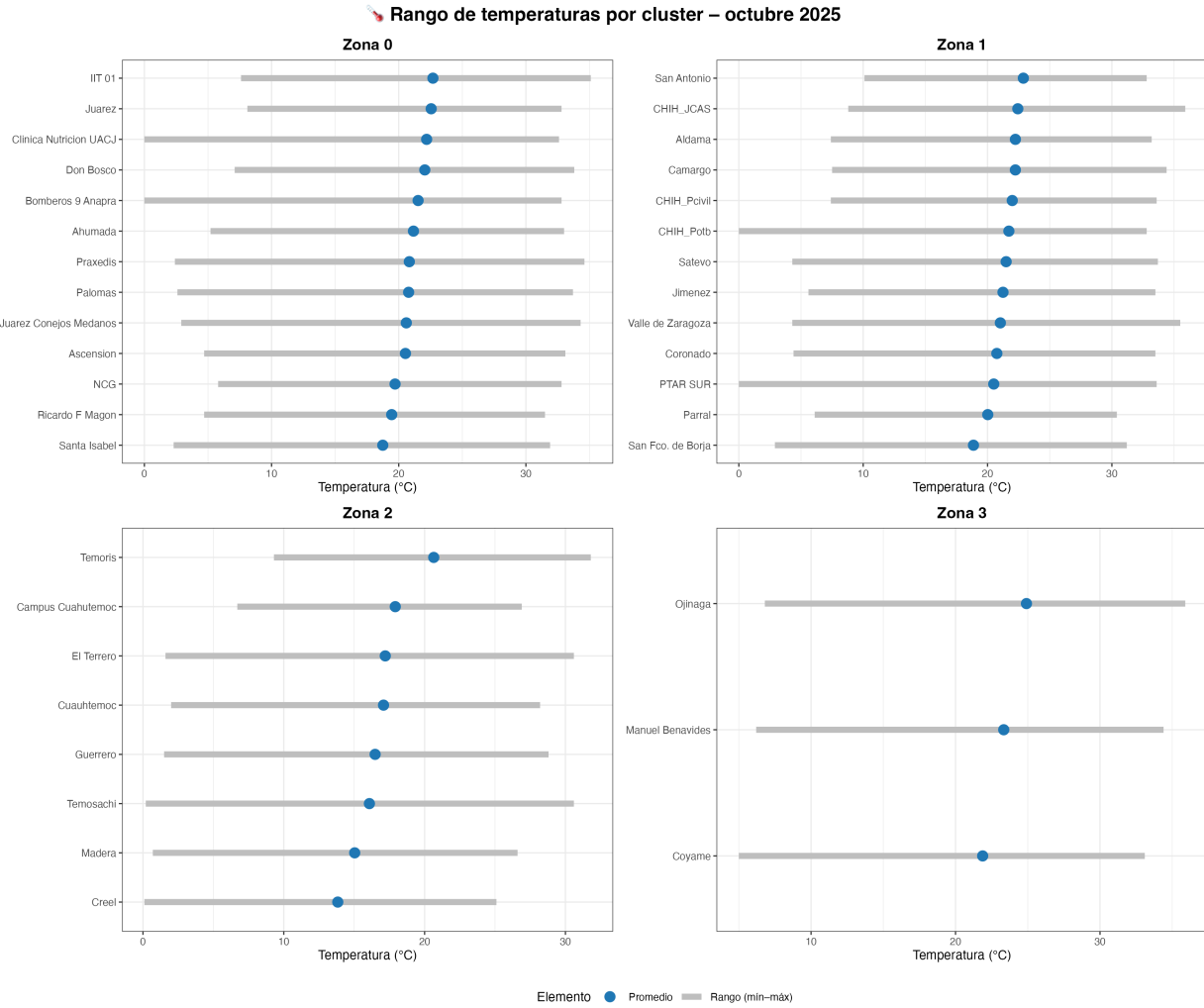


Figura 3: Comportamiento en temperatura para octubre 2025

4 Precipitación

4.1 Acumulado de Precipitación

Durante octubre de 2025 se registraron contrastes marcados en la distribución espacial de la precipitación acumulada en el estado de Chihuahua, de acuerdo con los valores observados por zona climática. La figura 5 muestra tanto la precipitación acumulada durante el mes de octubre como el total anual 2025, permitiendo identificar las diferencias regionales en intensidad y aportes pluviales.

En la Zona 0 (norte urbano), los valores de precipitación fueron moderados a bajos en comparación con otras regiones del estado. Santa Isabel, NCG y Ricardo F. Magón registraron los acumulados más altos, cercanos a 450–500 mm en el año, mientras que las estaciones urbanas de Juárez, IIT 01 y Don Bosco mostraron valores inferiores a 200 mm durante octubre. Este comportamiento es característico del clima semiárido del norte, donde las lluvias son escasas, irregulares y de corta duración.

La Zona 1 (centro-sur) presentó los mayores acumulados del estado, con totales anuales que superaron los 600 mm en Aldama, Coronado, San Antonio y Parral. Durante octubre se concentró una parte significativa de este total, lo que sugiere la influencia de sistemas convectivos intensos y aportaciones de humedad del Golfo de México. Esta región fue la más beneficiada en términos de recarga hídrica y disponibilidad de agua superficial.

En la Zona 2 (Sierra Tarahumara y región occidental), las estaciones Témoris, Madera y Creel destacaron con acumulados superiores a 700 mm en el año, reflejando la persistencia de lluvias orográficas generadas por la interacción entre la topografía montañosa y los sistemas de baja presión. Durante octubre, las lluvias continuaron siendo abundantes, manteniendo a esta zona como la más húmeda del estado.

Por otro lado, la Zona 3 (región oriental y fronteriza con Coahuila) registró los valores más bajos de precipitación, con acumulados anuales entre 200 y 300 mm. Las estaciones Ojinaga y Coyame reportaron aportes mínimos durante octubre, lo que confirma la predominancia de condiciones áridas y la escasa influencia de los sistemas convectivos en esta región.

En conjunto, la distribución de la precipitación evidencia un gradiente decreciente de sur a norte y de occidente a oriente, coherente con el relieve y los patrones climáticos de Chihuahua. Las zonas serranas y del centro-sur concentraron las mayores lluvias del mes, mientras que el norte y el oriente permanecieron relativamente secos. Este comportamiento es consistente con la finalización del ciclo pluvial estival y resalta la importancia de la Sierra Tarahumara como principal zona de recarga hídrica estatal.

4.2 Anomalía de Precipitación

Durante octubre de 2025 se registraron anomalías positivas de precipitación en la mayor parte del estado de Chihuahua, lo que indica que las lluvias fueron superiores al promedio histórico del mes en la mayoría de las estaciones analizadas. La figura 6 muestra los valores de anomalía (en milímetros) comparados con la media climatológica de octubre, diferenciando los excesos de precipitación (en verde) y los déficits (en azul).

La gráfica muestra la desviación de la precipitación registrada en octubre de 2025 respecto al promedio histórico del mismo mes, permitiendo identificar los excesos (en verde) y déficits (en azul) de lluvia por estación.

Durante el mes, se observaron anomalías positivas generalizadas en gran parte del estado, destacando las estaciones Madera, Clínica Nutrición UACJ, IIT 01, Temósachi y Témoris, con excesos que superaron los 60 mm sobre el promedio histórico. Estos valores indican la ocurrencia de lluvias más abundantes y frecuentes, probablemente asociadas con sistemas convectivos residuales del verano, la entrada de humedad tropical y la influencia de frentes fríos tempranos.

En contraste, se identificaron anomalías negativas en estaciones localizadas principalmente en el sur y oriente del estado, como Parral, Jiménez, Valle de Zaragoza y Santa Isabel, donde los déficits alcanzaron hasta -25 mm respecto al promedio. Estas condiciones más secas pueden atribuirse a la disminución de la actividad convectiva, efectos locales de sombra orográfica o una distribución irregular de los eventos de lluvia.

En general, el comportamiento pluviométrico de octubre refleja un exceso de precipitación en el norte y occidente, mientras que el centro-sur y el oriente presentaron déficits moderados. Este patrón es consistente con la transición hacia el otoño, cuando las lluvias tienden a concentrarse en episodios aislados pero intensos en las zonas serranas, mientras disminuyen en las regiones áridas del estado.

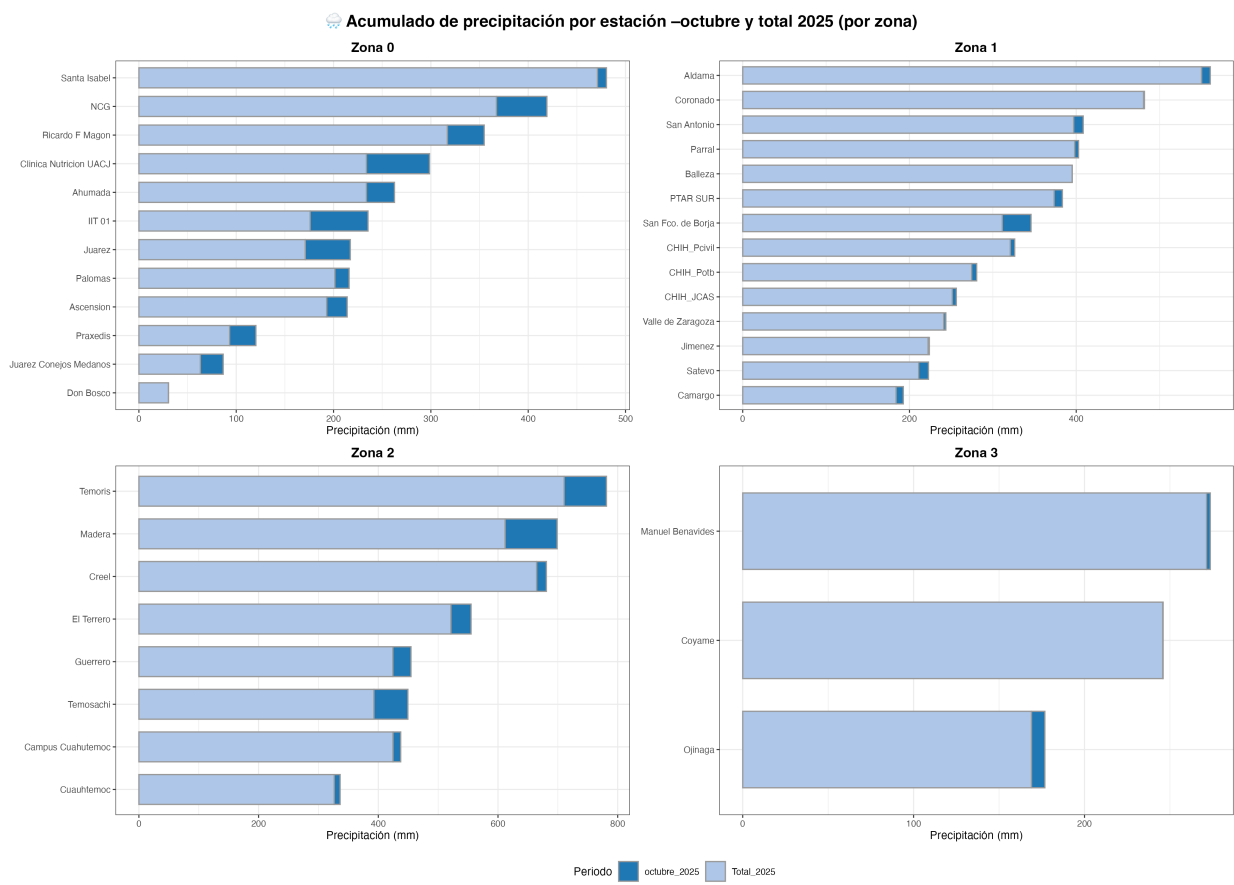


Figura 4: Acumulado de precipitación para octubre 2025 vs primer semestre 2025

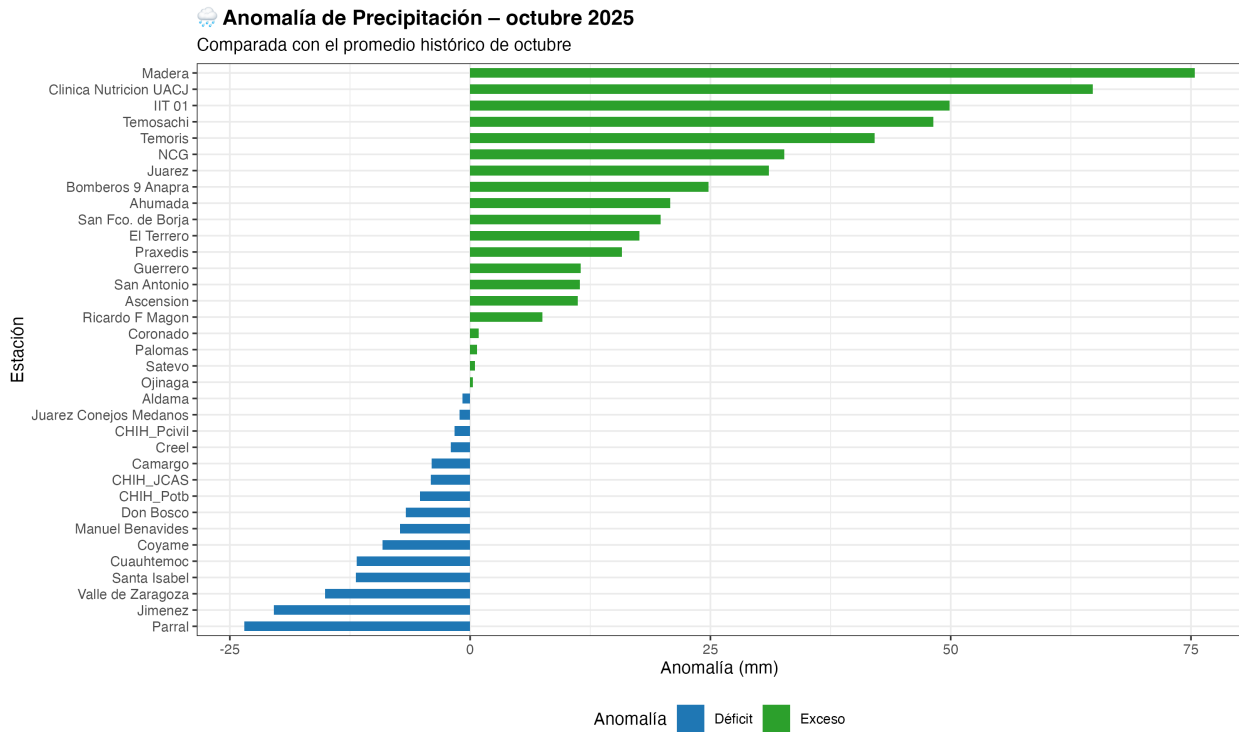


Figura 5: Anomalía de acumulado de precipitación para octubre (2021–2025)

4.3 Día más lluvioso por sitio

El análisis de la precipitación diaria en octubre de 2025 revela que, aunque el acumulado mensual presentó déficits en varias regiones, se registraron eventos puntuales de alta intensidad en distintas estaciones. La figura 7 muestra únicamente aquellas localidades donde hubo al menos un día con acumulados superiores a 50 mm, lo que permite identificar la ocurrencia de lluvias extremas.

La gráfica presenta la distribución temporal de la precipitación diaria registrada durante octubre de 2025 en las estaciones que reportaron al menos un día con acumulados superiores a 50 mm, permitiendo identificar los episodios de lluvia intensa más relevantes del mes.

Los datos muestran que los eventos más significativos se concentraron principalmente entre los días 10 y 15 de octubre, periodo en el cual varias estaciones —como Madera, NCG, Temósachi, Témoris, IIT 01 y Clínica Nutrición UACJ— registraron precipitaciones superiores a 40 mm en un solo día, con intensidades máximas en Madera y NCG.

Estos episodios corresponden a lluvias de tipo convectivo y orográfico, típicas de la transición del verano al otoño, influenciadas por la interacción de humedad tropical y sistemas frontales débiles. La recurrencia de eventos intensos en la Sierra Tarahumara y en el norte urbano sugiere la persistencia de condiciones favorables para la formación de tormentas locales y chubascos de corta duración pero alta intensidad.

En conjunto, octubre de 2025 se caracterizó por una precipitación concentrada en pocos días, con eventos aislados pero de gran magnitud, lo que contribuyó de manera significativa al acumulado mensual y al cierre del periodo pluvial en el estado.

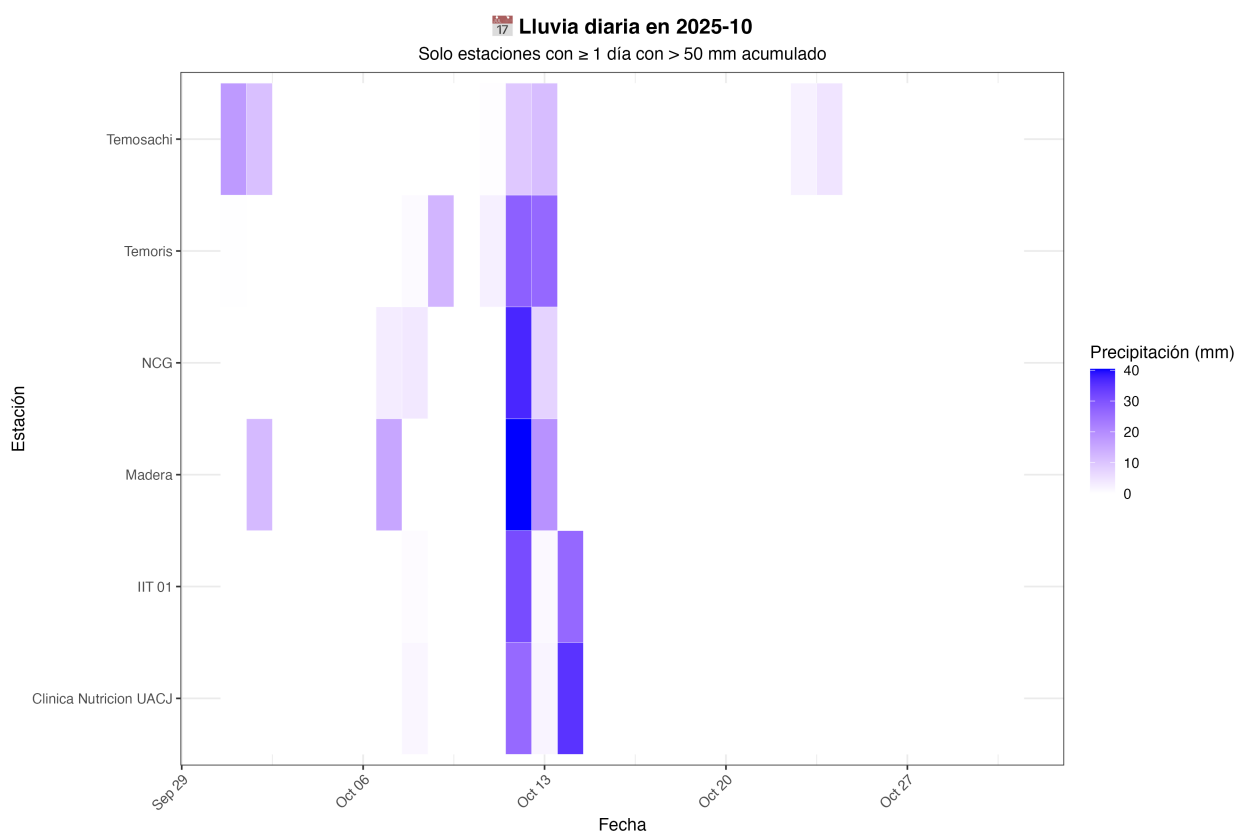


Figura 6: Eventos de lluvia extrema para octubre (2021–2025)

5 Otras Variables

5.1 Presión

El análisis del rango de presión atmosférica en octubre de 2025 muestra una relativa homogeneidad en los valores promedio entre las diferentes zonas del estado de Chihuahua, aunque con variaciones notables en los rangos diarios registrados en ciertas estaciones (Figura 8).

En la Zona 0 (norte urbano), los valores promedio de presión se mantuvieron entre 1006 y 1010 mb, con rangos amplios en algunas estaciones como Juárez Conejos Médanos y Ahumada, donde se observaron fluctuaciones diarias asociadas al paso de sistemas frontales débiles y variaciones térmicas locales. Las estaciones Santa Isabel y Palomas mostraron los valores más altos dentro del grupo, mientras que IIT 01 y Juárez Conejos Médanos registraron las presiones más bajas.

La Zona 1 (centro-sur del estado) presentó valores similares, con promedios entre 1007 y 1011 mb. Las estaciones ubicadas en zonas más bajas, como Jiménez, Parral y Coronado, tendieron a registrar presiones ligeramente mayores debido a su menor altitud. En general, esta región mostró una atmósfera estable, con predominio de condiciones anticiclónicas, típicas del inicio del otoño.

En la Zona 2 (Sierra Tarahumara y región occidental), las presiones promedio fueron más bajas, entre 1005 y 1009 mb, destacando Creel y Temósachic por presentar los valores mínimos. Este comportamiento responde directamente a la altitud elevada y al relieve montañoso, que favorecen una presión reducida y una mayor variabilidad diaria.

Finalmente, la Zona 3 (región oriental) mostró presiones promedio de 1008 a 1011 mb, con Ojinaga y Coyame como las estaciones más representativas de este comportamiento. La estabilidad atmosférica observada en esta zona se asocia con la influencia de aire seco y subsidencia, características del clima árido de la región.

En conjunto, los resultados confirman que durante octubre de 2025 la presión atmosférica en el estado se mantuvo dentro de rangos normales, con ligeras variaciones debidas principalmente a la altitud y las condiciones locales. Este patrón es consistente con la transición estacional hacia el otoño y la disminución de la actividad convectiva, sin evidencia de perturbaciones significativas en el campo barométrico estatal.

5.2 Velocidad de viento

El análisis de la velocidad del viento durante octubre de 2025 revela un comportamiento variable entre zonas, con registros de velocidades máximas elevadas en múltiples regiones del estado. El gráfico presentado ilustra tres elementos clave por sitio: el promedio mensual (puntos azules), el rango completo de valores (línea gris entre mínimo y máximo) y la velocidad máxima puntual registrada (triángulo rojo) (Figura 9).

En la Zona 0 (norte urbano), las velocidades promedio oscilaron entre 2 y 8 km/h, con picos máximos que superaron los 20 km/h en Bomberos 9 Anapra y Juárez. Estas estaciones urbanas mostraron la mayor actividad eólica del estado, influenciada por la topografía abierta del valle de Juárez, la canalización del viento por estructuras urbanas y las diferencias térmicas diurnas. En contraste, estaciones como Santa Isabel y NCG registraron velocidades menores a 3 km/h, reflejando condiciones más estables y menor turbulencia.

La Zona 1 (centro-sur) presentó velocidades promedio de 2 a 5 km/h, con mayores valores en Parral y Aldama, donde los máximos superaron los 10 km/h. Esta región se caracteriza por un régimen eólico más uniforme, con menor influencia de sistemas frontales, lo que resulta en vientos moderados y regulares durante gran parte del mes.

En la Zona 2 (Sierra Tarahumara y región occidental), las velocidades promedio se mantuvieron entre 2 y 6 km/h, con máximos de hasta 14 km/h en Campus Cuauhtémoc. La variabilidad observada responde a la orografía compleja de la región, donde los valles y cañones modulan la dirección e intensidad del viento. Las estaciones de mayor altitud, como Temósachic y Témoris, registraron valores más bajos, mientras que Cuauhtémoc y Guerrero mostraron una ligera mayor actividad. Finalmente, en la Zona 3 (oriente del estado) se observaron promedios entre 4 y 6 km/h, destacando Ojinaga con los valores máximos (hasta 12 km/h).

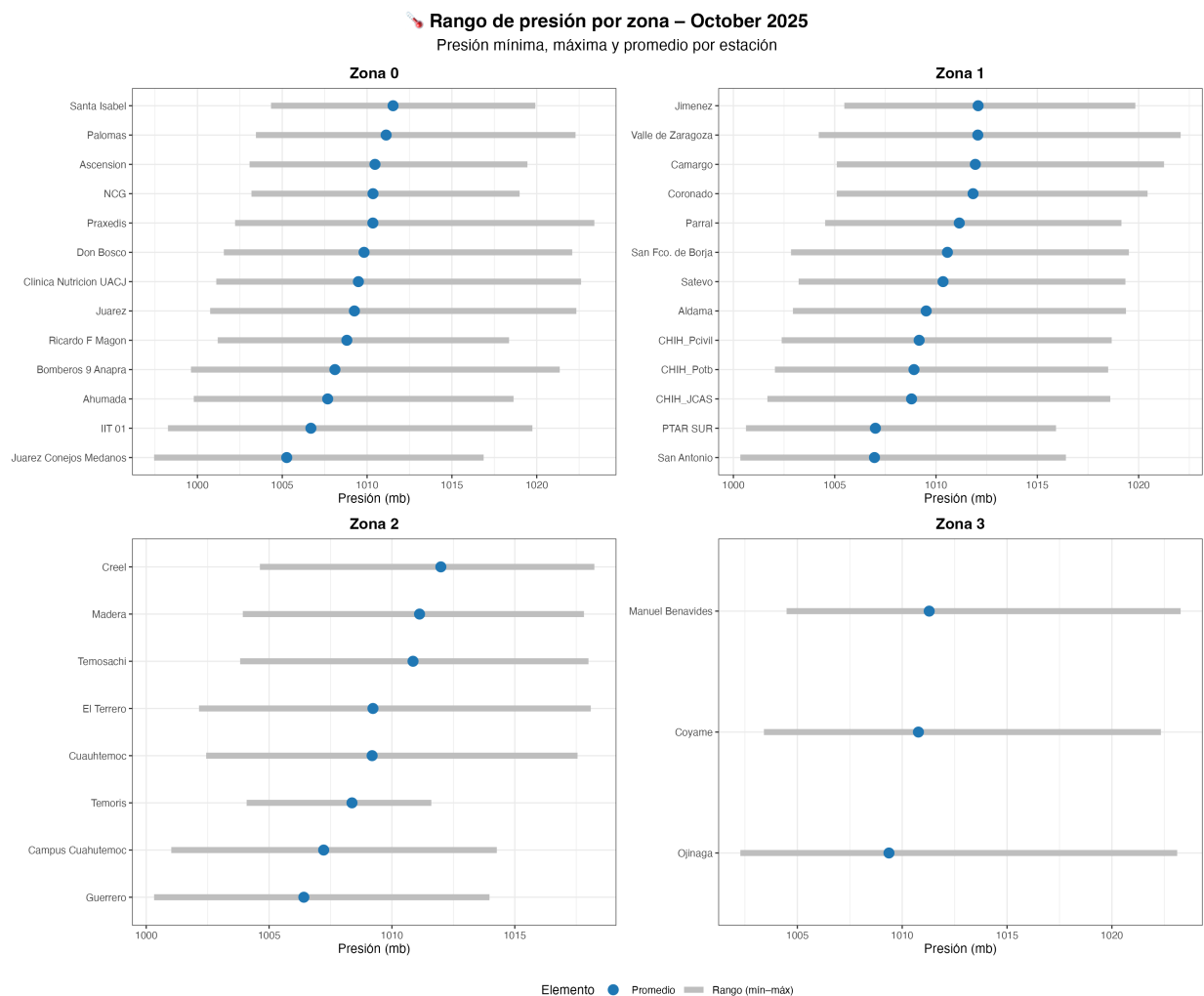


Figura 7: Comportamiento de la presión barómetrica para octubre 2025

Este comportamiento es típico de las zonas áridas abiertas del oriente, donde el contraste térmico diurno y la escasa cobertura vegetal favorecen una circulación eólica constante.

En conjunto, octubre de 2025 se caracterizó por vientos predominantemente moderados, con mayores velocidades en el norte y oriente del estado y condiciones más calmadas en la Sierra y el centro-sur. Este patrón es coherente con la transición estacional entre verano y otoño, cuando disminuye la actividad convectiva pero persisten flujos locales impulsados por diferencias térmicas y de presión.

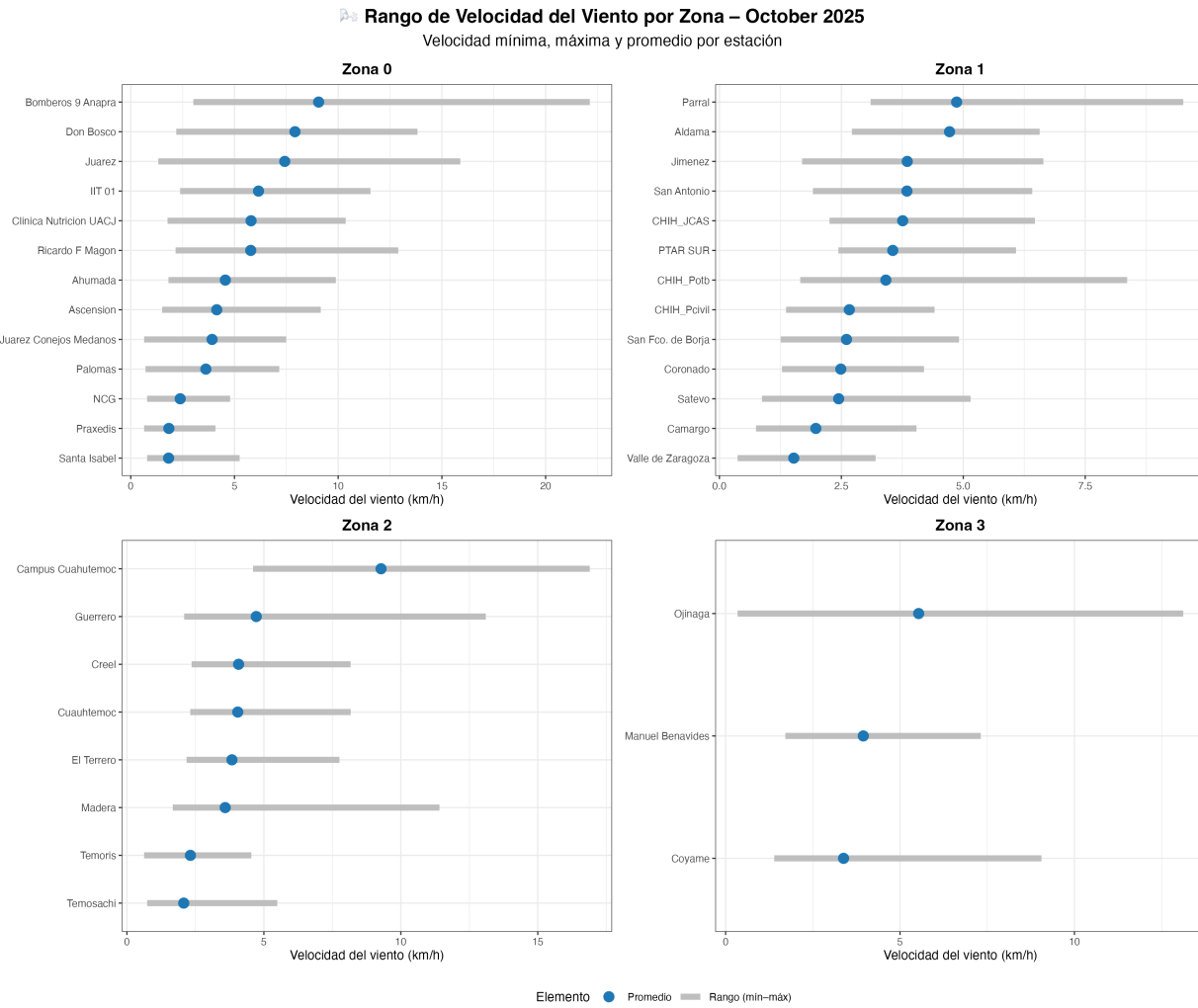


Figura 8: Comportamiento de la velocidad del viento para octubre 2025

5.3 Radiación

El análisis de la radiación global durante octubre de 2025 muestra un comportamiento relativamente estable en los promedios estatales, aunque con diferencias notables entre zonas y estaciones asociadas principalmente a la altitud, nubosidad y condiciones atmosféricas locales (Figura 10).

La gráfica muestra los valores mínimos, máximos y promedios de la radiación solar global registrados durante octubre de 2025 en las estaciones de la Red Climatológica del Estado de Chihuahua, agrupadas por zona.

En la Zona 0 (norte urbano), los valores promedio de radiación oscilaron entre 190 y 230 W/m², con ligeras variaciones entre estaciones. Las más elevadas se registraron en Santa Isabel, Ricardo F. Magón y Don

Bosco, mientras que los valores más bajos correspondieron a NCG, IIT 01 y Clínica Nutrición UACJ. Las diferencias reflejan la influencia de la nubosidad variable y las condiciones urbanas locales, que pueden reducir la radiación incidente.

La Zona 1 (centro-sur) presentó los valores promedio más altos del estado, alcanzando hasta 260 W/m^2 en Jiménez, Satevó y Valle de Zaragoza, lo que confirma condiciones mayormente despejadas y estables durante el mes. Esta región mostró un patrón de alta insolación, coherente con la baja cobertura nubosa y las temperaturas elevadas registradas en el mismo periodo.

En la Zona 2 (Sierra Tarahumara y región occidental), los valores promedio se mantuvieron entre 180 y 220 W/m^2 , con mayor variabilidad debido a la nubosidad orográfica y la altitud. Estaciones como Temósachic y Creel registraron los valores más bajos, mientras que Cuauhtémoc y El Terrero mostraron una radiación ligeramente superior, reflejando la heterogeneidad microclimática de la región serrana. Por su parte, la Zona 3 (región oriental y fronteriza con Coahuila) mostró promedios en torno a $200\text{--}240 \text{ W/m}^2$, destacando Manuel Benavides por presentar la radiación más alta del grupo. Estas condiciones corresponden a un ambiente árido y despejado, donde la baja humedad y escasa nubosidad favorecen altos niveles de irradiancia. En conjunto, octubre de 2025 se caracterizó por una radiación solar elevada y estable en todo el estado, con máximos en el centro-sur y oriente, y valores menores en la Sierra Tarahumara debido a la nubosidad asociada a las lluvias residuales.

Este comportamiento es consistente con la transición hacia la temporada seca y resulta relevante para la evaluación del potencial energético solar y del balance térmico regional.

6 Actualización climatológica mensual: Conclusiones

El 17 de octubre del 2025 se llevó a cabo la reunión mensual del análisis climatológico el cual es liderado por la JCAS y la UACJ. En esta reunión se llegó a las siguientes conclusiones:

1. El estado actual muestra una condición de La Niña.
2. La temperatura de las aguas superficiales en el Pacífico Ecuatorial están por debajo de sus valores promedio casi todo el Océano Pacífico.
3. Las condiciones de la Niña persistirán de Diciembre 2025 a Febrero 2026, con una probabilidad de alcanzar a un ENSO-Neutro en Enero-marzo 2026 (probabilidad de 55%).
4. Se observa una reducción de las precipitaciones por lo que resta del año y los primeros meses del próximo año.
5. Se recomienda hacer los preparativos para la temporada invernal que se aproxima.

7 Conclusiones

Con base en los resultados presentados en el boletín RCCH-BOL-2025-10, se concluye lo siguiente:

Durante octubre de 2025, el estado de Chihuahua presentó condiciones climáticas heterogéneas, reflejo de su compleja topografía y de la transición estacional entre verano y otoño. En general, se observaron temperaturas superiores al promedio histórico en el centro y sur del estado, con anomalías positivas de hasta $+1.8^\circ\text{C}$, mientras que el norte urbano y la Sierra Tarahumara registraron ligeros descensos asociados con la entrada de frentes fríos tempranos, mayor nubosidad y efectos locales de altitud y urbanización.

La precipitación acumulada fue, en la mayoría de las zonas, superior a los valores históricos del mes, destacando las regiones norte y serrana, donde estaciones como Madera, Temósachi, Témoris e IIT 01 registraron excesos superiores a 60 mm respecto al promedio. Los eventos más intensos se concentraron entre los días 10 y 15 de octubre, con lluvias convectivas aisladas pero de alta magnitud que contribuyeron significativamente al acumulado mensual. En contraste, el sur y oriente (Parral, Jiménez, Valle de Zaragoza) presentaron déficits moderados, confirmando un patrón de gradiente pluvial de occidente a oriente.

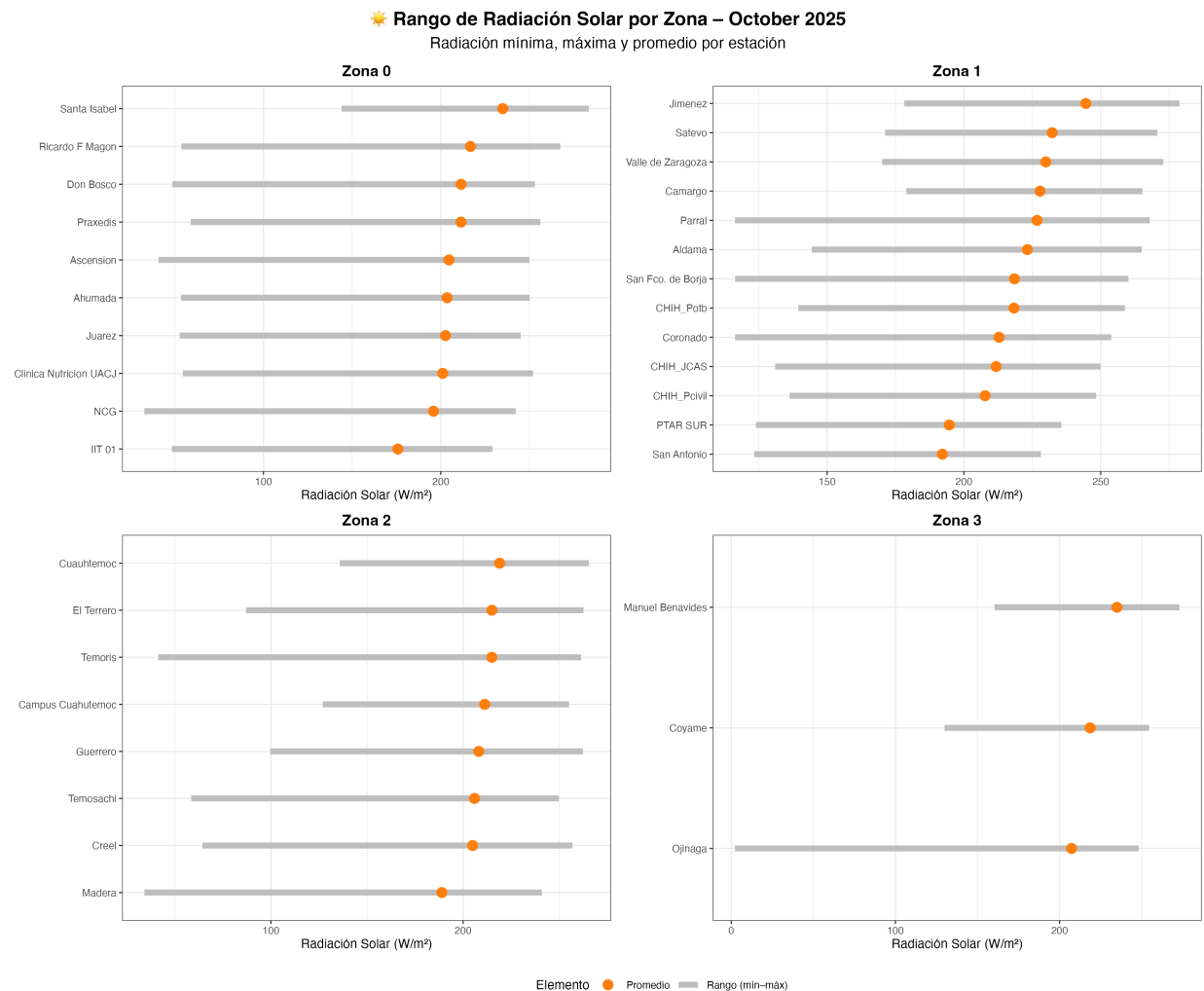


Figura 9: Comportamiento de la radiación solar incidente para octubre 2025

Las condiciones atmosféricas complementarias se mantuvieron estables: la presión barométrica osciló entre 1005 y 1011 mb, sin perturbaciones significativas; los vientos fueron moderados, con promedios de 3 a 8 km/h y máximos en Juárez, Anapra y Ojinaga, y la radiación solar permaneció elevada en el centro-sur y oriente, disminuyendo en la Sierra por la nubosidad asociada a las lluvias residuales.

Durante la reunión climatológica mensual del 17 de octubre de 2025, liderada por la JCAS y la UACJ, se confirmó la presencia de una fase activa del fenómeno La Niña, caracterizada por temperaturas superficiales oceánicas por debajo del promedio en el Pacífico ecuatorial. Se prevé que estas condiciones persistan de diciembre de 2025 a febrero de 2026, con probabilidad de transición a un estado ENSO-Neutral (55 %) hacia el primer trimestre de 2026. Esta situación podría generar una reducción gradual de las precipitaciones durante el cierre del año y los primeros meses de 2026, así como temperaturas más frías en el noroeste del país.

En este contexto, se recomienda fortalecer la preparación ante la temporada invernal, considerando la posible ocurrencia de descensos térmicos más marcados y menor disponibilidad de humedad atmosférica, así como reforzar las estrategias de gestión hídrica, agroclimática y de protección civil en las regiones más vulnerables.

En conjunto, octubre de 2025 marcó un cierre húmedo de la temporada pluvial, acompañado de temperaturas elevadas en el centro-sur y de condiciones atmosféricas estables, en un escenario regional influenciado por La Niña. Estos resultados reafirman la importancia de mantener y fortalecer la Red Climatológica del Estado de Chihuahua (RCCH) como herramienta estratégica para la vigilancia meteorológica, la planeación preventiva y la toma de decisiones ante escenarios climáticos variables. _____

Este documento fue generado automáticamente a partir de datos de la Red Climatológica de Chihuahua (JCAS-EMAS).

Para mayor información, contactar a:

clima@jcias.gob.mx comunicacionjcias@gmail.com 6144393500

Seguimos fortaleciendo la infraestructura de monitoreo en el estado.



JUNTA CENTRAL
DE AGUA Y SANEAMIENTO
DEL ESTADO DE CHIHUAHUA

